

ESTUDIOS CENSALES DE PECES EN LOS EMBALSES DE ALBIÑA,  
URRÚNAGA Y ULLIVARRI DE LA CUENCA DEL EBRO PARA LA FUTURA  
INCORPORACIÓN DE ESTE INDICADOR BIOLÓGICO A LA EVALUACIÓN  
DEL POTENCIAL ECOLÓGICO

TOMO 2. EMBALSE DE URRÚNAGA

EXP. 056/09-SNS

REF. EC09007-IF



*Santander, 30 de diciembre de 2009*





*ESTUDIOS CENSALES DE PECES EN LOS EMBALSES DE ALBIÑA, URRÚNAGA  
Y ULLIVARRI DE LA CUENCA DEL EBRO PARA LA FUTURA INCORPORACIÓN  
DE ESTE INDICADOR BIOLÓGICO A LA EVALUACIÓN DEL POTENCIAL  
ECOLÓGICO. TOMO 2. EMBALSE DE URRÚNAGA*

**Dirección (Confederación Hidrográfica del Ebro)**

Concha Durán Lalaguna

Cristina Pintor Ruano

**Autores (Ecohydros SL)**

Agustín Monteoliva Herreras

Gonzalo Alonso de Santocildes Marañón

José Augusto Monteoliva García

Carlos Oldani Olano











**ESTUDIOS CENSALES DE PECES EN LOS EMBALSES DE ALBIÑA, URRÚNAGA Y ULLIVARRI DE LA CUENCA DEL EBRO PARA LA FUTURA INCORPORACIÓN DE ESTE INDICADOR BIOLÓGICO A LA EVALUACIÓN DEL POTENCIA ECOLÓGICO.**

**TOMO 2. EMBALSE DE URRÚNAGA**

**ÍNDICE**

1	RESUMEN .....	1
2	INTRODUCCIÓN .....	3
2.1	Estudio cuantitativo de la fauna íctica .....	4
3	ÁMBITO DEL ESTUDIO .....	7
3.1	Caracterización físico-química del embalse. Perfiles verticales .....	9
4	METODOLOGÍA .....	11
4.1	Diseño del muestreo .....	12
4.2	Muestreos remotos: Hidroacústica .....	12
4.2.1	Prospección hidroacústica .....	12
4.2.1	Procesado de datos acústicos .....	13
4.3	Muestreos directos de pesca .....	14
4.3.1	Redes agalleras multipaño .....	14
4.3.2	Pesca eléctrica desde embarcación .....	16
4.4	Interpolado espacial y estimaciones globales .....	16
5	RESULTADOS .....	19
5.1	Sondeo hidroacústico: Densidades .....	19
5.1.1	Comparativa con otros embalse del Ebro .....	23
5.2	Muestreos directos: Composición y biomasa específica .....	23
5.2.1	Especies presentes en el embalse .....	24
5.2.2	Composición y distribución de especies .....	24
5.3	Biomasa .....	29





5.3.1 Comparativa con otros embalse de la cuenca del Ebro .....31

5.4 Densidad y biomasa por especies ..... 31

6 APROXIMACIÓN AL POTENCIAL ECOLÓGICO DEL EMBALSE BASADO EN PECES .....33

7 CONCLUSIONES .....35

8 GLOSARIO .....37

9 BIBLIOGRAFÍA.....39

**Relación de Figuras**

Figura 1. Variación del volumen del embalse en los años 2.008 a 2.009 ..... 7

Figura 2. Ubicación del embalse de Urrúnaga ..... 8

Figura 3. Perfiles de temperatura, conductividad, turbidez y oxígeno disuelto en el momento del muestreo ..... 9

Figura 4. Esquema del método de censado de poblaciones ícticas en un embalse ..... 11

Figura 5. Esquema de la disposición de elementos y comunicaciones en el sondeo acústico ..... 13

Figura 6. Recorridos de sondeo hidroacústico ..... 19

Figura 7: Distribución de frecuencias de densidad (ind/1000m<sup>3</sup>), estimada mediante ecosondeo..... 20

Figura 8. Celdas de análisis de hidroacústica y representación de la densidad piscícola. Cada punto representa una celda de 50m de longitud..... 22

Figura 9. Comparación de la densidad con otros embalses de la cuenca del Ebro ..... 23

Figura 10. Ubicación de las redes de muestreo..... 25

Figura 11. Porcentaje de capturas (izq) y biomasa (dcha) por unidad de esfuerzo ..... 27

Figura 12. Histograma de frecuencias de capturas en clases de longitud de 5 mm ..... 28

Figura 13. Celdas de análisis de hidroacústica y representación de la biomasa piscícola..... 30

Figura 14. Comparación de la biomasa con otros embalse de la cuenca del Ebro..... 31

**Relación de ilustraciones**

Ilustración 1. Vista del embalse de Urrúnaga durante la campaña de muestreo ..... 5







*Ilustración 2. Niebla matinal durante el muestreo hidroacústico..... 5*

*Ilustración 3. Concentraciones superficiales de algas cianofíceas en el lado norte del puente de Legutiano 10*

*Ilustración 4: Calado de redes nórdicas por personal especializado..... 15*

**Relación de Tablas**

*Tabla 1. Caracterización del perfil de físico-químicos (22-sep-2.009, 16:45)..... 9*

*Tabla 2: Descripción de las redes de muestreo empleadas ..... 15*

*Tabla 3: Caracterización de los estratos de profundidad definidos ..... 17*

*Tabla 4. Densidad de peces (ind/1000m<sup>3</sup>) por estratos, estimada mediante acústica ..... 20*

*Tabla 5. Especies presentes en el embalse ..... 24*

*Tabla 6: Resultados de las pescas con red por especies ..... 26*

*Tabla 7. Biomasa de peces por estratos (g/m<sup>2</sup>) estimada mediante acústica ..... 29*

*Tabla 8. Densidades y biomاسas por especie en el embalse..... 32*

**Relación de ANEJOS**

**ANEJO I. FICHAS DE ESPECIES PRESENTES..... A**

**ANEJO II. RESULTADO DE LAS PESCAS CON REDES ..... B**

**ANEJO III. RESULTADOS DE HIDROACÚSTICA POR CELDAS ..... C**

**ANEJO IV. MAPAS ..... D**







## 1 RESUMEN

En el presente trabajo se han caracterizado las poblaciones de peces del **embalse de Urrúnaga**, situado en el río Santa Engracia, en el municipio de Legutiano, en la provincia de Álava.

Para ello se ha empleado una combinación de **técnicas hidroacústicas** y de muestreo directo mediante **redes científicas**, según define la norma CEN 14.757:2.005. Mediante las primeras se ha estimado la densidad de peces, así como su distribución dentro del embalse y el muestreo directo ha servido para caracterizar la composición de especies y la estructura de tallas de cada una de ellas. La combinación de ambos resultados ha permitido obtener también la estimación y distribución de biomásas por especie en el embalse.

Se han encontrado las siguientes **especies**: Alburno (*Alburnus alburnus*), Barbo de graells (*Barbus graellsii*), Carpa común (*Cyprinus carpio*) y de espejos (*Cyprinus carpio specularis*), loina o madrilla (*Pseudochondrostoma miegii*), lucio (*Exos lucius*), pez sol (*Lepomis gibbosus*) y tenca (*Tinca tinca*). Destaca la ausencia de la trucha común (*Salmo trutta*).

La **comunidad de peces** está dominada en densidad por el alburno con un 88% de las CPUE, mientras que en biomasa cobran importancia las especies de mayor tamaño: el barbo (47% de la BPUE) seguido por la tenca (19%) y el lucio (17%).

La **densidad media de peces**, a partir de la interpolación en celdas de 50 m, es de **3,93 individuos/1000m<sup>3</sup>**. Ese valor de densidad se puede considerar bajo. En términos de abundancia absoluta, el número de peces estimado es de 184.565 individuos.

Los valores máximos de densidad media corresponden a la capa superficial (0-6 m) y a la inferior (profundidad mayor de 12 m). En estrato superior, además, se encuentran los puntos de mayor concentración de peces, homogéneamente distribuidos por los dos brazos principales del embalse.

La **biomasa** de peces obtenida en el embalse es de 0,59 g/m<sup>2</sup>, o lo que es lo mismo, **5,9 kg/ha**, se trata de un valor bajo, propio de sistemas oligotróficos. La biomasa absoluta se estimó en **3,4 t**.

La aportación a la biomasa del embalse de las capas inferiores es ínfima y son los dos brazos correspondientes a los ríos Santa Engracia y Urquiola, los que concentran las mayores biomásas.





En definitiva, se trata de un embalse con densidades y biomásas de peces que concuerda con lo esperado en un embalse de aguas oligotróficas y una comunidad dominada en abundancia por el alburno y en biomasa por el barbo, que presenta unas poblaciones envejecidas.

La gran abundancia de especies introducidas frente a autóctonas, incluida la presencia de un gran predador, el lucio, y la ausencia de la trucha común, son factores que pueden condicionar el potencial ecológico del embalse, basado en los peces.





## 2 INTRODUCCIÓN

El presente documento constituye el informe final de la Asistencia Técnica para el Estudio censal de las comunidades de peces en el embalse de Urrúnaga (en adelante el estudio) adjudicado a Ecohydros, S.L. por la Confederación Hidrográfica del Ebro (en adelante, CHEbro).

Las técnicas hidroacústicas constituyen actualmente la técnica remota por excelencia para cartografiar hábitats y elementos biológicos, tanto los relacionados con los fondos (bentónicos), como con la columna de agua. Los gestores de los ecosistemas acuáticos necesitan identificar y cartografiar los elementos naturales a través de múltiples escalas espaciales, y en este sentido los sistemas acústicos resultan óptimos por su enorme rango dinámico, que permite medir propiedades de los objetos desde escalas de centímetros a kilómetros.

La comunidad científica ya contempla los sensores acústicos como un medio para estudiar cuantitativamente una diversidad de aspectos relacionados con la morfología y características de los sustratos, sedimentos, rasgos de pequeña escala de los hábitats bentónicos e incluso de la estructura de las comunidades de organismos (animales y plantas) que forman parte de ellos. Esto también es aplicable a organismos pelágicos, desde el zooplancton a los peces. De hecho, existe ya un cuerpo de conocimiento y tecnología muy desarrollado y con cierta tradición, si bien es cierto que su correcta aplicación depende de una formación técnica altamente especializada.

En lo referente a su aplicación en estudios censales y de dinámica poblacional de los peces, está relativamente extendida en ambientes marinos pero no tanto en aguas continentales, debido en gran medida a que su incremento en portabilidad no ha migrado a este tipo de aplicaciones con la misma celeridad que la evolución tecnológica que lo ha permitido.

La CHEbro es consciente de la oportunidad que representa la adaptación y aplicación de estas técnicas a las masas de aguas continentales, para mejorar la cantidad y calidad de la información disponible en la optimización de la gestión de los ecosistemas acuáticos no vadeables, es decir, no accesibles a las técnicas directas de muestreo, razón por la que ha promovido el presente estudio.

Desde la CHEbro se pretende mediante esta asistencia técnica explorar y, en su caso, explotar los beneficios que ofrece este tipo de técnicas prospectivas en cuanto al control y gestión de los ecosistemas acuáticos, en lo que es una expresión más de la vocación de aspirar a las





mejores técnicas disponibles, como estrategia para optimizar el rendimiento en sus obligaciones competenciales relativas a la gestión de la calidad de las aguas.

Este informe recoge la descripción de los métodos aplicados, así como los resultados obtenidos. El informe consta de una Memoria con sus respectivos ANEXOS, en los que se facilitan *in extenso* los datos que dan lugar las estimaciones sintéticas, tanto en forma de fichas y tablas alfanuméricas como en forma de mapas, según proceda. Se acompaña además con un CD en el que se facilitan los documentos y datos en formato electrónico.

## 2.1 Estudio cuantitativo de la fauna íctica

La fauna piscícola representa un nivel elevado en la red trófica de los ecosistemas acuáticos e integra información espacio-temporal a mayor escala que los invertebrados. De ahí que resulte de interés su estudio desde diferentes puntos de vista, que transcurren desde la perspectiva de la conservación de la biodiversidad (especies amenazadas, especies invasoras, etc.), a su gestión como recurso pesquero, pasando por su interacción con la calidad de las aguas y su valor indicador del estado (potencial) ecológico.

A diferencia de los otros elementos biológicos utilizados como indicadores, los peces integran información plurianual y su papel en la clasificación de estas masas de agua no debe ser desdeñado *a priori*, máxime cuando una de las consecuencias más conspicuas de la degradación de las aguas son las mortandades piscícolas.

Es bien sabido además, que la Directiva Marco del Agua prescribe el uso de indicadores de composición y abundancia en diferentes elementos biológicos, incluyendo los peces, para los que además se requiere una estimación de la estructura de tallas.

Sin embargo, en nuestro país se está obviando ese requerimiento, sobre todo en el caso de las masas de agua profundas, como lagos, embalses y ríos de orden alto (tramos bajos). Esto se ha debido, al menos en parte, a la aceptación de una impresión generalizada de que se requieren técnicas muy sofisticadas y costosas para obtener esa información.

Mediante el presente estudio, se pretende evaluar las poblaciones de peces en el embalse de Urrúnaga, al tiempo que se somete a contraste el rendimiento de las técnicas hidroacústicas combinadas con muestreos directos de verificación, como futura metodología de aplicación en las masas de agua no vadeables para evaluar su estado (potencial) ecológico en función del



elemento bioindicador que representa la fauna íctica en el contexto de la Directiva Marco del Agua.



Ilustración 1. Vista del embalse de Urrúnaga durante la campaña de muestreo



Ilustración 2. Niebla matinal durante el muestreo hidroacústico









### 3 ÁMBITO DEL ESTUDIO

El embalse de Urrúnaga se localiza en el río Santa Engracia, aunque convergen en él, además, los ríos Urquiola y Albiña, en el término municipal de Legutiano en la provincia de Álava. Se sitúa a una altitud de 521 m por encima del nivel del mar y presenta una capacidad máxima de 72 hm<sup>3</sup>. En la figura 2 se muestra un mapa con la ubicación del embalse.

En el momento del muestreo (septiembre de 2.009), el embalse se encontraba aproximadamente al 65% de su capacidad máxima. De esta manera, se muestreó una superficie aproximada de 580 ha de las 869 ha posibles (máxima superficie al 100% de capacidad).

Los usos principales del embalse son la producción hidroeléctrica, el abastecimiento y el riego. En lo referente a usos lúdicos, el principal es la pesca. El embalse completo es un tramo acotado de pesca de cangrejo señal (*Leniusculus pacifastacus*) y para la pesca de especies piscícolas el embalse es de pesca libre entre marzo y septiembre.

Se trata de un embalse monomítico, calcáreo, ubicado en la zona húmeda y con un área de cuenca menor de 1000 km<sup>2</sup>, lo que lo sitúa en el tipo 7, según los criterios del CEDEX (2.005).

En lo que respecta al estado trófico y ecológico ha sido clasificado como mesotrófico y con potencial ecológico moderado, según el Informe de Situación del año 2.008 del CEMAS (CHEbro, 2.009). En 2009, sin embargo, el embalse se clasificó como oligotrófico (CHEbro comunicación personal)

En el gráfico siguiente se muestra el gráfico de variación de volumen del último año. (Fuente: SAIH Ebro)

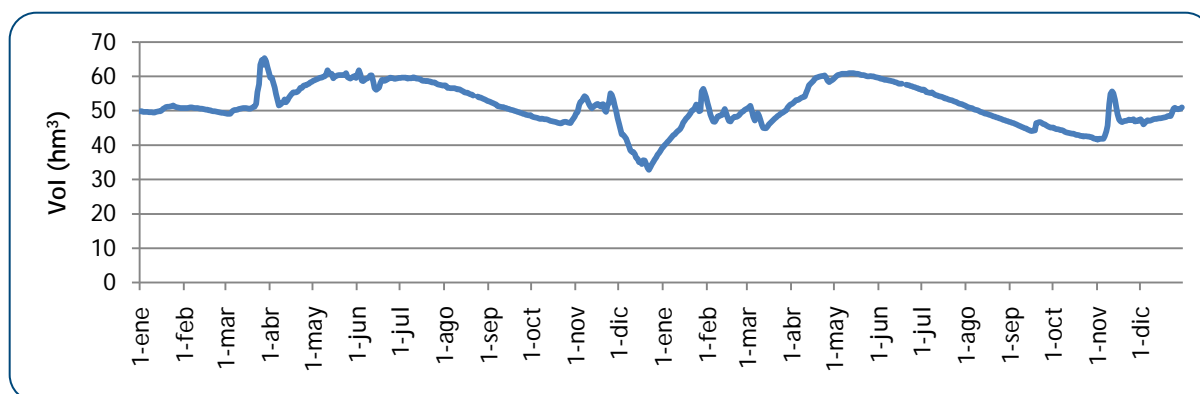


Figura 1. Variación del volumen del embalse en los años 2.008 a 2.009



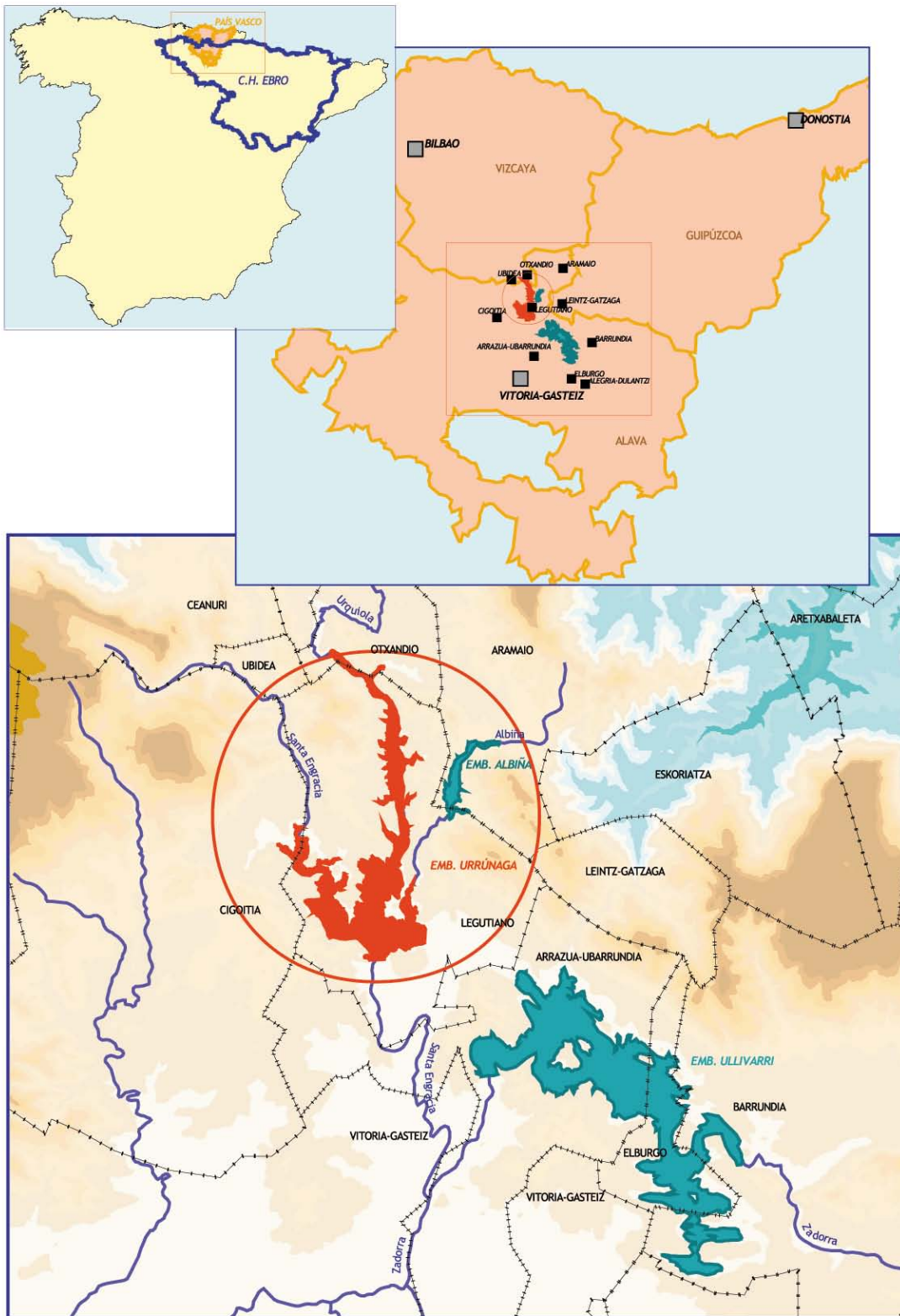
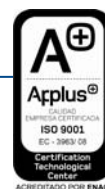


Figura 2. Ubicación del embalse de Urrúnaga





### 3.1 Caracterización físico-química del embalse. Perfiles verticales

Para orientar la definición de macrohábitats y establecer la velocidad real del sonido en el agua (parámetro fundamental para el ecosondeo), se realizó un perfil vertical, en la zona de máxima profundidad, de temperatura, conductividad eléctrica, oxígeno disuelto y turbidez. Así mismo se midió la penetración de la luz mediante disco de Secchi.

En la tabla y gráficos siguientes se presentan los resultados obtenidos.

Tabla 1. Caracterización del perfil de físico-químicos (22-sep-2.009, 16:45)

Temperatura ambiente (°C)	Profundidad (m)	Disco de Secchi (m)	Capa fótica (m)
17	17	3,4	9,18

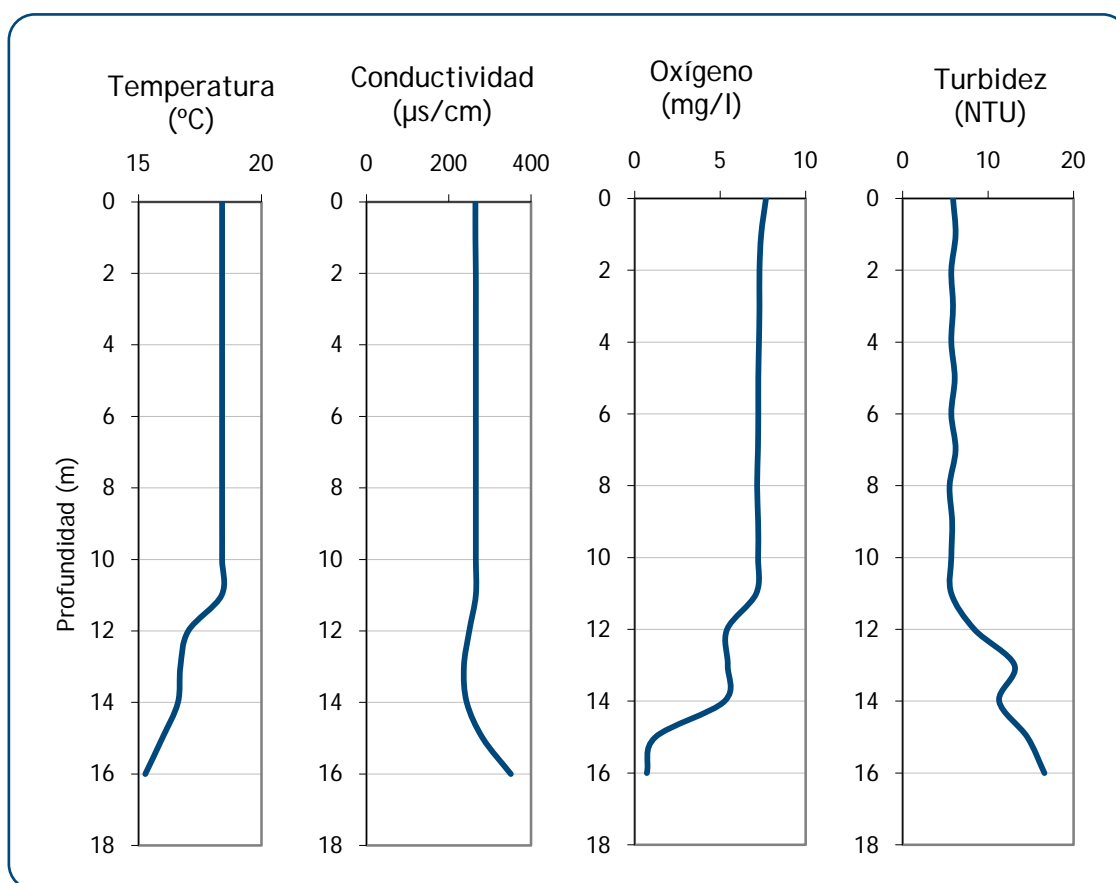


Figura 3. Perfiles de temperatura, conductividad, turbidez y oxígeno disuelto en el momento del muestreo





Se observa la persistencia de estratificación térmica ya profunda y al final del periodo de estratificación estival, con la termoclina a los 11 metros. Las condiciones de oxigenación y turbidez empeoran drásticamente a partir de dicha profundidad, por lo que pueden suponer una limitación para ciertas especies de peces. Se ha apreciado además en los ecosondeos la presencia de una masa hundida de fitoplancton sedimentante en los estratos más profundos, que debe proceder de alguna proliferación masiva previa y, de hecho, se observaban aún concentraciones superficiales de algas cianofíceas en algunas zonas del embalse, especialmente en el lado norte del puente de Legutiano (Ilustración 3)



Ilustración 3. Concentraciones superficiales de algas cianofíceas en el lado norte del puente de Legutiano



## 4 METODOLOGÍA

Se ha aplicado un procedimiento de muestreo sistemático mediante ecosondeo vertical y horizontal, combinándolo con muestreos directos por medio de la extensión de redes.

El procedimiento general empleado, que se plasma en la figura 4, establece diferentes técnicas de muestreo en función de los macrohábitats diferenciados. Como se puede observar en la citada figura, el procedimiento de trabajo se basa en la combinación optimizada de diferentes técnicas prospectivas y de análisis. Mediante los sondeos acústicos en posición vertical y horizontal se obtiene una alta densidad muestral relativa a la densidad y talla acústica de los peces, y cada elemento de análisis se posiciona en tres dimensiones (latitud, longitud y profundidad). Además, se obtiene un levantamiento del fondo que permite elaborar un modelo batimétrico digital, que sirve para ubicar adecuadamente las estimaciones poblacionales en cada macrohábitat.

Mediante el muestreo con métodos directos de pesca científica en lugares representativos de los diferentes sectores definidos (macrohábitats), se alcanza un conocimiento de la distribución de especies y relaciones entre la talla y el peso, que permiten finalmente estimar biomazas por especies y sectores.

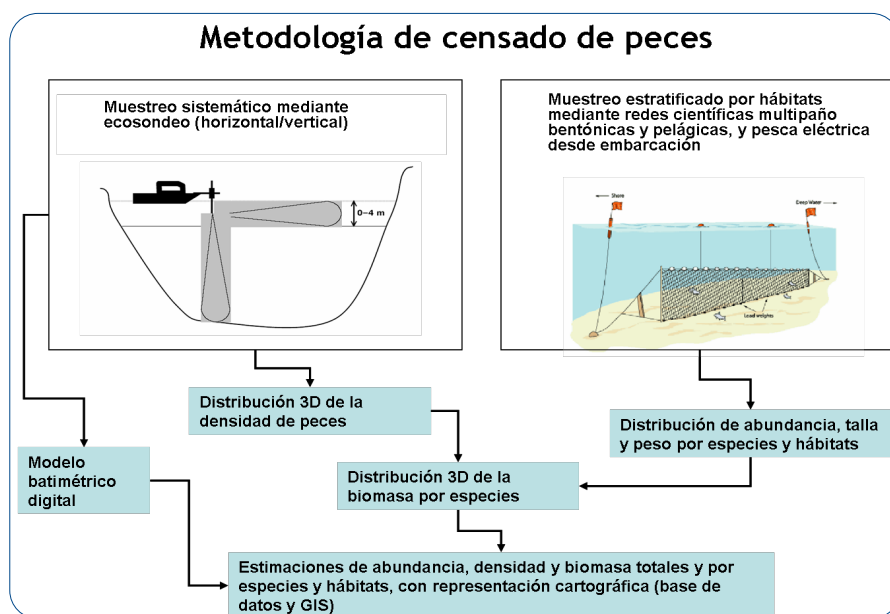


Figura 4. Esquema del método de censo de poblaciones ícticas en un embalse





## 4.1 Diseño del muestreo

Considerando la homogeneidad en la configuración del hábitat dentro de la zona a estudiar, se ha optado por una distribución sistemática de las unidades de muestreo acústico, con una separación entre transectos entre 50 y 100 m.

No obstante se han realizado además recorridos periféricos adicionales proyectando el haz horizontal hacia las riberas, es decir, perpendicularmente a la línea de costa, en aquellos lugares en que la diferenciación del hábitat lo aconsejaba. Con ello se ha maximizado el alcance del sondeo.

Con el objetivo de conocer la composición específica del embalse se dispusieron una serie de redes agalleras multipaño tratando de cubrir los gradientes presa-cola, zona litoral-zona pelágica y por último el gradiente en profundidad.

## 4.2 Muestreos remotos: Hidroacústica

### 4.2.1 Prospección hidroacústica

El equipo utilizado es una ecosonda científica BioSonics DTX, con transductor elíptico digital de haz partido de 430 kHz, que ofrece un rango dinámico muy superior a los sistemas analógicos.

El transductor va sujetado lateralmente al barco mediante un soporte construido *ex profeso* que lo mantiene sumergido en orientación variable desde la vertical hasta la horizontal y perpendicular al avance de la embarcación.

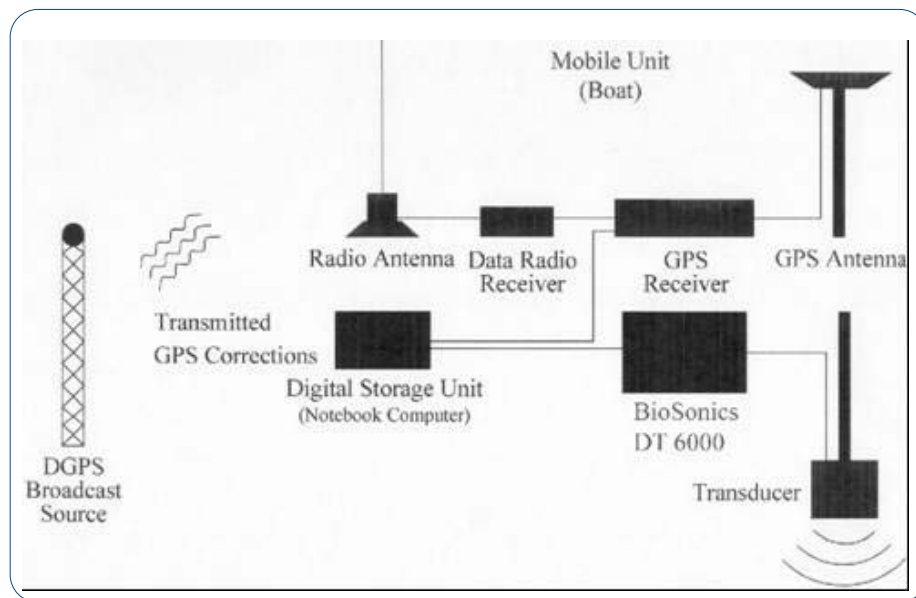


Figura 5. Esquema de la disposición de elementos y comunicaciones en el sondeo acústico

Durante la adquisición de datos, las posiciones proporcionadas por el sistema GPS se incorporan de forma automática y directa a los ficheros de datos, de modo que los datos de cada medición efectuada por la ecosonda van vinculados de forma inequívoca a sus respectivas posiciones.

Con cada pulso o muestra, el sistema adquiere información sobre todos los objetos que se encuentran en ese momento en la columna de agua y dentro del haz acústico que emite la sonda.

Los datos adquiridos se someten a un postproceso, mediante el cual se extraen de los ficheros de datos crudos, adquiridos en el campo y las posiciones originales suministradas por el GPS. Para ello, se empieza por identificar el fondo en cada ecograma.

Posteriormente, se visualizan en forma de ecograma todos los datos acústicos obtenidos y se revisan para descartar posibles artefactos (detecciones de burbujas, etc) en los ficheros, excluyendo de esta forma falsos ecos.

#### 4.2.1 Procesado de datos acústicos

Se ha utilizado el ecoconteo, es decir, la técnica que permite, para cada ping o muestra, catalogar cada señal como blanco (pez) y estimar su intensidad acústica.

Previamente, los datos acústicos brutos han sido corregidos mediante la función TVG (ganancia cronovisible) específica para ecoconteo (40LogR). Una vez clasificadas todas las señales de





peces en los ecogramas, se almacenan junto a su posición y características estadísticas, incluyendo la intensidad acústica media, compensada en función de la posición del blanco en el espacio tridimensional formado por el haz acústico.

A partir de estos blancos verificados y corregidos, se aplica un análisis para la evaluación de la biomasa (densidad en este caso), basado en el recuento (ecoconteo) de blancos clasificados en intervalos de análisis definidos.

Además de la densidad de peces en cada celda georreferenciada, se obtiene la intensidad media del blanco o talla acústica (TS, expresada en dB).

Para convertir la TS en talla física del pez, se ha aplicado un algoritmo adaptado a la frecuencia acústica aplicada (430 kHz), a partir de la ecuación básica de Love (1.977).

## 4.3 Muestreos directos de pesca

### 4.3.1 Redes agalleras multipaño

A efectos de obtener información sobre la distribución de especies y las relaciones talla/peso, se han calado redes de muestreo científico de tipo NORDIC (*Fiskerivertket* 2.000:1), desarrolladas por el *Nordic Freshwater Fish Group* y que constituye un estándar internacional (EN 14.757:2.005).

Constan estas redes de 11, 12 o 16 paños agalleros de luz creciente, que va desde 5 hasta 55 mm, en una longitud total de 27,5 m, 30 m o 40 m de largo y de 1,5 o 6 m de alto. El ratio entre la luz de paños consecutivos es de 1,25 y sigue una progresión geométrica. Este tipo de red constituye un arte de pesca no sesgado, puesto que captura con igual probabilidad todas las tallas.

Para completar la información aportada por las redes estándar, se han empleado otras redes formadas por cuatro paños de luces de mayor tamaño cuyo objetivo es la caracterización de las tallas grandes. En este embalse, la información aportada por estas últimas redes es muy valiosa ya que la presencia de grandes tencas y barbos no habría sido detectada mediante las redes estándar.

La nomenclatura de cada red depende de la ubicación y la altura a la que se cala, de tal manera que hay redes bentónicas, caladas al fondo, mesopelágicas y epipelágicas, ubicadas





ambas en la zona pelágica y caladas, respectivamente, a una profundidad media y en superficie.

Tabla 2: Descripción de las redes de muestreo empleadas

	Número de paños x longitud (m)	Luz de malla (mm)	Long x altura (m)	Esfuerzo respecto a estándar
12 x 1,5	12 x 2,5 m	5 - 55	30 x 1,5	1
12 x 6	11 x 2,5 m	6,25 - 55	27,5 x 6	3,66
16 x 1,5	16 x 2,5 m	5 - 135	40 x 1,5	1,33
16 x 6	15 x 2,5 m	6,25 - 135	37,5 x 6	5
4 x 1,5	4 x 10 m	70 - 135	40 x 1,5	1,33
4 x 6	4 x 10 m	70 - 135	40 x 6	5,33



Ilustración 4: Calado de redes nórdicas por personal especializado

La unidad estándar de esfuerzo de pesca está constituida por una red de 12 paños y 1,5 m de altura (45 m<sup>2</sup>), calada durante 12 h. El esfuerzo de muestreo se ha repartido geográficamente siguiendo una previsión de hábitats o, como se suelen denominar en este tipo de trabajos, “polos de atracción”. Esto responde a un planteamiento estratificado más que sistemático.





#### 4.3.2 Pesca eléctrica desde embarcación

Además de las pescas con redes, en las zonas litorales someras, especialmente en presencia de macrófitos acuáticos o vegetación de ribera, se realizó un muestreo complementario mediante pesca eléctrica desde embarcación.

Para la pesca eléctrica se utilizó una embarcación de aluminio de 4 m eslora propulsada por un motor de cuatro tiempos de 13 cv, con una instalación fija consistente en dos plumas situadas en la proa de las que cuelgan los ánodos, y una barandilla donde se sitúa el operario que recolectará los peces. El equipo de pesca utilizado fue el Hans-Grassl GmbH EL 65 II GI (13kw). La embarcación está provista, además, de tanques oxigenados para el mantenimiento de los peces vivos y en buenas condiciones.

En el embalse de Urrúnaga, dado que el esfuerzo realizado con las redes, puede considerarse elevado, la pesca eléctrica únicamente se empleó para matizar, de manera cualitativa, los resultados obtenidos a partir de las redes. Las apreciaciones obtenidas se presentan en el capítulo de resultados.

#### 4.4 Interpolado espacial y estimaciones globales

Para presentar los resultados obtenidos, todas las posiciones contenidas en los ficheros tienen que convertirse a UTM en datum ED50 Huso 30. Todos los mapas e ilustraciones que se incluyen en el presente Estudio se han orientado en este sistema de referencia.

El embalse se ha dividido en estratos coherentes de profundidad, que han sido debidamente cubricados mediante el modelo batimétrico digital. Esta estratificación se ha efectuado considerando los registros verticales de temperatura y oxígeno disuelto y de la penetración de la luz, obtenidos durante el muestreo, así como criterios relativos a la orientación del transductor y a la coherencia del haz acústico en horizontal.

Para cada estrato se ha realizado una interpolación espacial utilizando métodos geoestadísticos ajustados *ex profeso* siguiendo las buenas prácticas en investigaciones de pesquerías (los mapas con este tipo de información espacialmente distribuida se presentan en el Anejo IV).

Para cada celda, se obtiene la densidad en ind/1.000 m<sup>3</sup> y la biomasa en g/m<sup>2</sup> (aplicando la relación longitud/peso de las capturas) así como la distribución de tallas de los peces detectados.



Tabla 3: Caracterización de los estratos de profundidad definidos

Haz	Estrato	Límites estrato (m)	Superficie (ha)	Volumen (hm <sup>3</sup> )
Horizontal	1	0 a -6	580,12	27,28
Vertical	2	-6 a -12	443,20	12,85
Vertical	3	-12 a -18*	197,13	2,55





## 5 RESULTADOS

### 5.1 Sondeo hidroacústico: Densidades

Los recorridos móviles de ecosondeo han cubierto una longitud total de 32400 m con el transductor en posición horizontal y 12150 m en posición vertical, lo que supone una densidad de muestreo de 56 m/ha y 21 m/ha respectivamente. Los recorridos completos se presentan en la siguiente figura.

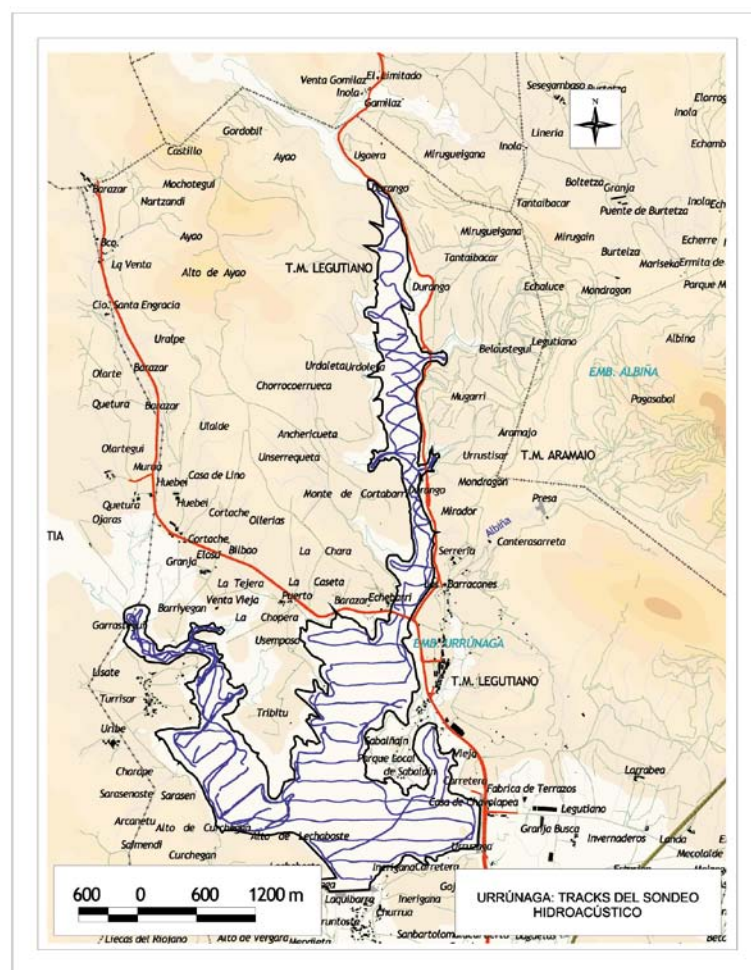


Figura 6. Recorridos de sondeo hidroacústico

Mediante el método descrito, se ha obtenido una estimación de densidad en celdas de 50 m y también la talla acústica corregida de cada uno de los blancos y rastros de peces. En el ANEJO



III, se presenta un listado completo de estas celdas de análisis, detallando sus coordenadas, estrato, densidad y biomasa.

En el gráfico y tabla siguientes se representan la distribución de frecuencias de los valores de densidad, obtenidos a partir de los rastros, y los estadísticos descriptivos correspondientes, tanto para el ecosondeo horizontal como para el vertical.

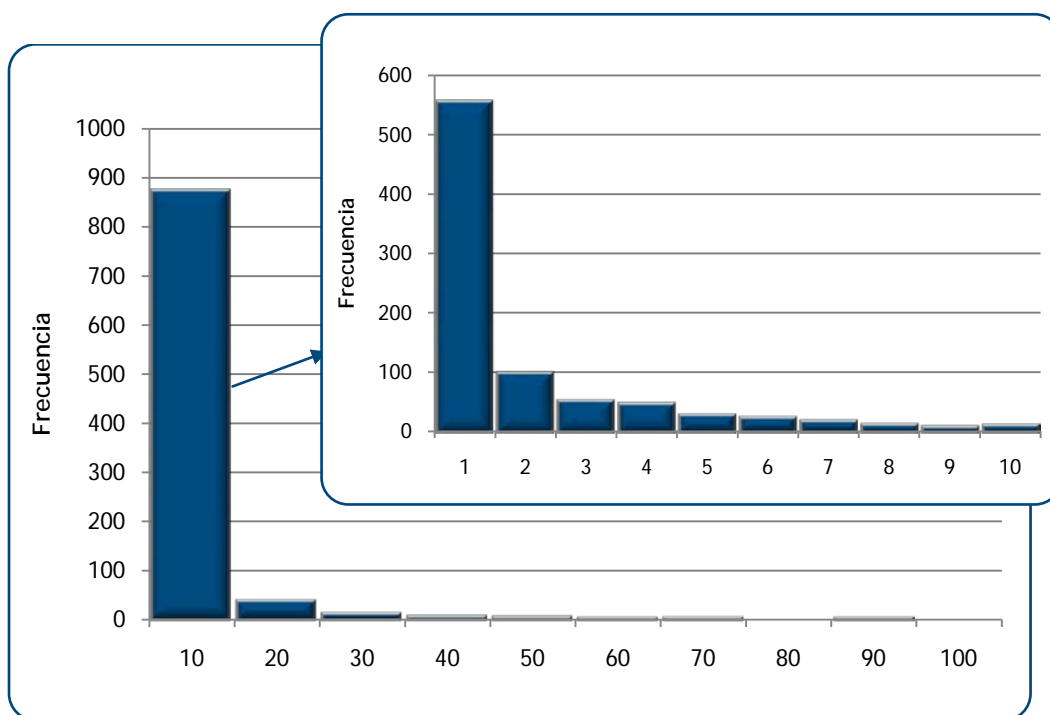


Figura 7: Distribución de frecuencias de densidad (ind/1000m<sup>3</sup>), estimada mediante ecosondeo

Tabla 4. Densidad de peces (ind/1000m<sup>3</sup>) por estratos, estimada mediante acústica

Capa	Valor promedio	Número de casos	Número de casos con valor 0	Valor máximo	Desviación típica
0 a -6	4,83	648	30	236,59	14,94
-6 a -12	1,96	243	179	119,57	8,74
-12 a -18	4,13	61	23	53,88	7,25

Estos valores medios se han ponderado con el volumen de cada estrato (tabla 3), para obtener una densidad total del embalse de 3,93 ind/1.000m<sup>3</sup>. Este valor es el más bajo de los embalses del entorno, Albiña y Ullivarri, ver capítulo 5.5.1.





La distribución espacial de la densidad piscícola se presenta interpolada en los mapas 1 a 3 (ANEJO IV) para los tres estratos considerados. Para los intervalos de densidad se han empleado cuantiles redondeados (mismo número de casos en cada clase). Para cada uno de los estratos se han utilizado los mismos intervalos, de tal manera que puedan compararse los estratos.

En la figura 8 se han ubicado geográficamente las celdas de análisis para cada uno de los estratos y se ha representado mediante símbolos graduados la densidad de cada celda de análisis. Los intervalos empleados son diferentes para cada estrato ya que se ha usado el método de intervalos naturales que maximiza las diferencias entre grupos.

Los puntos de mayor densidad se encuentran en la capa superficial y se distribuyen por los brazos del embalse, con tendencia a aparecer cerca del litoral. En el estrato inferior (más de 12 m de profundidad) se aprecia una densidad media similar a la del primer estrato, con una distribución homogénea por toda la capa. Las zonas más pobres en peces, se encuentran en el cuerpo central del embalse, donde confluyen los tres brazos, principalmente en la capa superior. En esa zona se observa un aumento de la densidad al aumentar de la profundidad (ver mapas 1 a 3 del ANEJO IV).



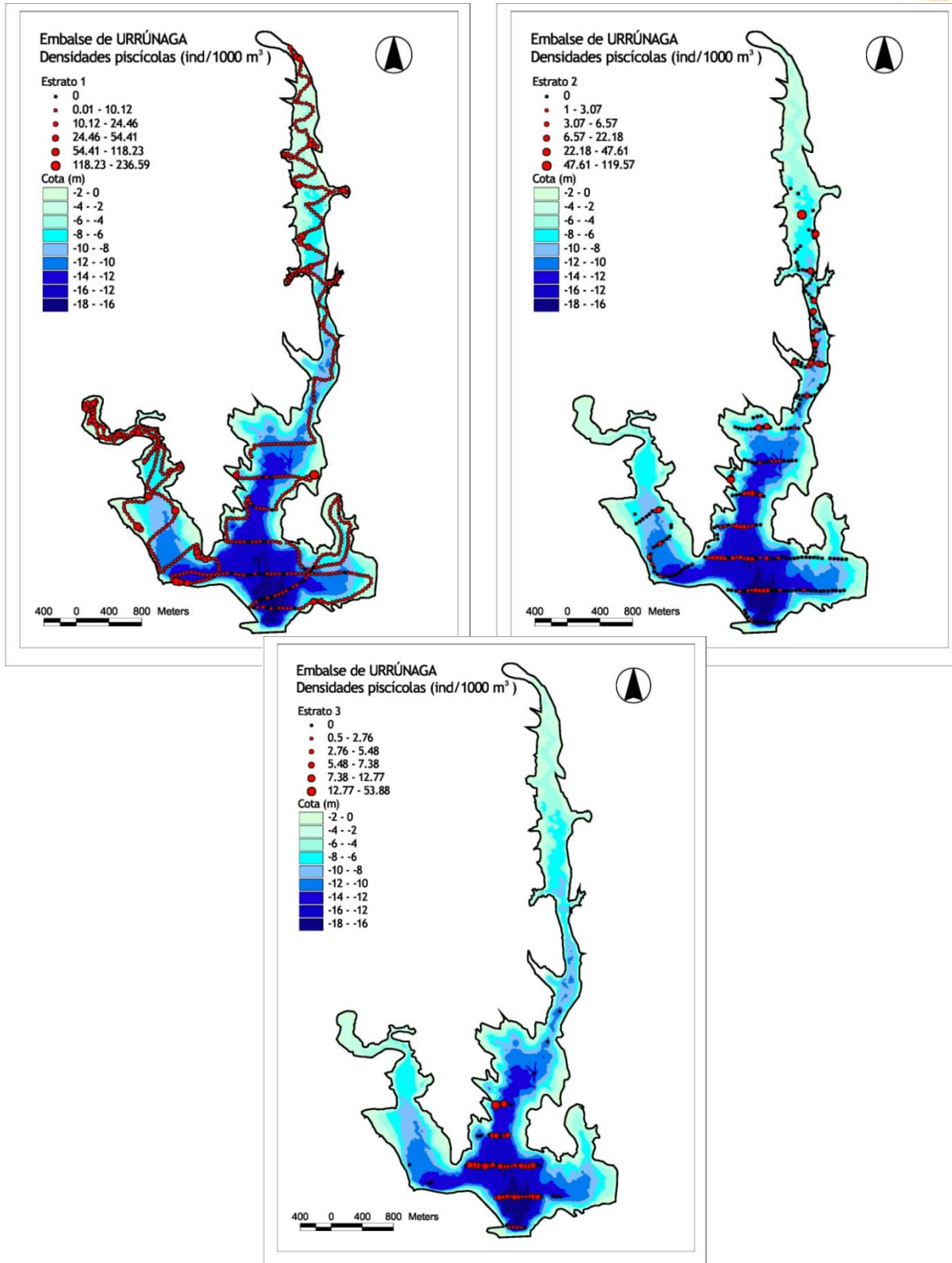


Figura 8. Celdas de análisis de hidroacústica y representación de la densidad piscícola. Cada punto representa una celda de 50m de longitud



### 5.1.1 Comparativa con otros embalse del Ebro

En el diagrama de barras siguiente se presentan los resultados de densidad obtenidos en Urrúnaga en comparación con otros embalses de la Cuenca del Ebro donde se ha trabajado con técnicas hidroacústicas y se tiene una estimación cuantitativa. La línea roja representa el valor promedio de los embalses considerados.

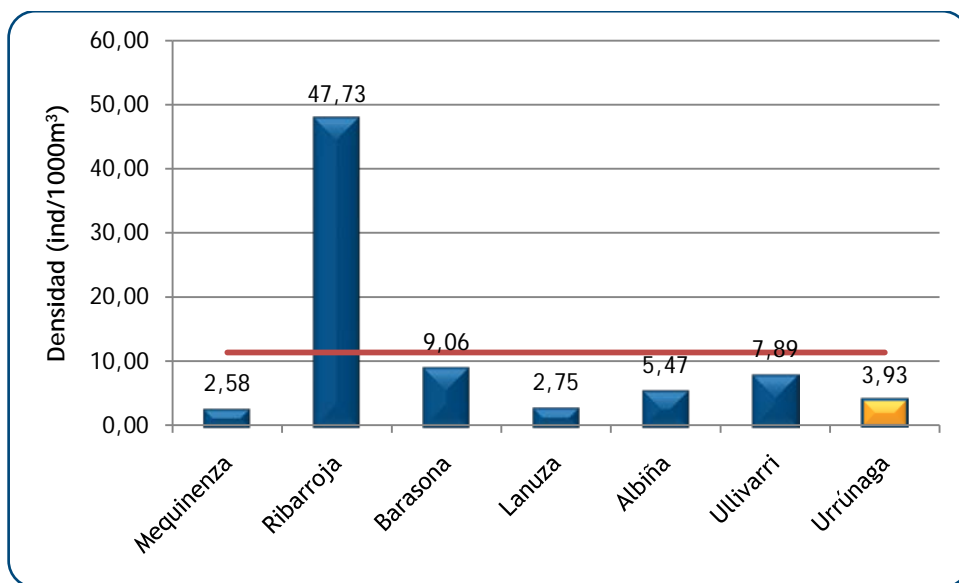


Figura 9. Comparación de la densidad con otros embalses de la cuenca del Ebro

## 5.2 Muestreos directos: Composición y biomasa específica

Los muestreos directos se han realizado mediante la pesca con redes agalleras multipaño según se describen en la norma CEN 14.757.

Los detalles de cada una de las pescas con red se han recogido en fichas de campo. En estas fichas, facilitadas en el ANEJO II, se detallan los datos relativos a cada muestreo, así como un resumen de las capturas en las que se incluyen los siguientes valores por especie y totales:

- Capturas por unidad de esfuerzo (CPUE), es decir, el número de ejemplares acumulado estandarizado a 12 h de pesca y 45 m<sup>2</sup> de red multipaño (red bentónica).
- Biomasa por unidad de esfuerzo (BPUE), es decir, el peso acumulado estandarizado a 12 h de pesca y 45 m<sup>2</sup> de red multipaño (red bentónica).



### 5.2.1 Especies presentes en el embalse

En este apartado, se presentan las especies encontradas en los muestreos. En el ANEJO I, se presenta una ficha descriptiva por especie en la que se incluye una breve descripción, una fotografía, un histograma de frecuencias por clases de talla de 5 mm y un mapa en el que se representa el % de CPUE en las diferentes redes. (Descripciones de Doadrio, 2001; CHEbro, 2009 y fishbase.org; fotografías de Ecohydros SL).

En la siguiente tabla se enumeran todas las especies capturadas y se indica su carácter autóctono o alóctono:

Tabla 5. Especies presentes en el embalse

Especie	Autóctona / Alóctona
Alburno ( <i>Alburnus alburnus</i> )	Alóctona
Barbo de Graells ( <i>Barbus graellsii</i> )	Autóctona
Carpa común ( <i>Cyprinus carpio</i> )	Alóctona (Anterior a 1900)
Carpa de espejos ( <i>Cyprinus carpio specularis</i> )	Alóctona
Loina o Madrilla ( <i>Parachondrostoma miegii</i> )	Autóctona
Lucio ( <i>Exos lucius</i> )	Alóctona
Pez sol ( <i>Lepomis gibbosus</i> )	Alóctona
Tenca ( <i>Tinca tinca</i> )	Indeterminado

### 5.2.2 Composición y distribución de especies

#### 5.2.2.1 Capturas con redes

El total de capturas con redes fue de 1.079 peces con un peso total de 29,4 kg, lo que supone 412 CPUE (ejemplares capturados por unidad de esfuerzo) y 18 kg de Biomasa por unidad de esfuerzo. Se emplearon un total de 19 redes en 305 horas de pesca (50,8 unidades de esfuerzo). La ubicación de las redes de muestreo se refleja en la figura siguiente:

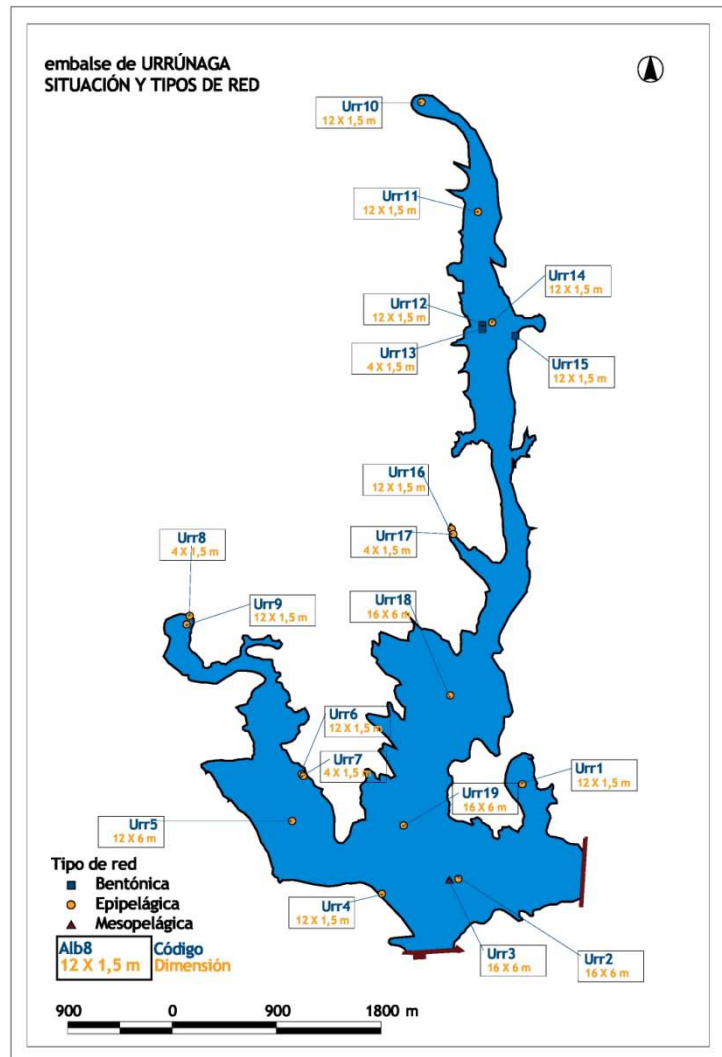


Figura 10. Ubicación de las redes de muestreo





En la tabla 6 se facilitan los resultados de las redes agregados por especies. Se han capturado un total de 8 especies diferentes.

Tabla 6: Resultados de las pescas con red por especies

	Alburno	Barbo de Graells	Carpa común	Carpa de espejos	Loina	Lucio	Pez sol	Tenca	Total
Capturas	988	5	2	5	38	3	30	8	1079
CPUE	361	4	0	1	24	2	16	4	412
% CPUE	88%	1%	0%	0%	6%	1%	4%	1%	100%
PF total (g)	6887	11115	48	51	733	4154	194	6761	29943
BPUE (g)	2573	8453	8	8	461	3140	96	3353	18091
% BPUE	14%	47%	0%	0%	3%	17%	1%	19%	100%
Long furcal (mm)	84	524	95	73	109	513	62	283	89
Peso medio (g)	7	2223	24	10	19	1385	6	845	28

\*Los términos empleados para describir la comunidad son los siguientes:

**Capturas:** Número de individuos pescados

**CPUE:** Capturas por unidad de esfuerzo. Número de peces pescados ponderado por el esfuerzo de la red en la que han sido capturados

**% CPUE:** Capturas por unidad de esfuerzo expresado como porcentaje

**PF total:** Peso fresco total de los peces capturados expresado en gramos

**BPUE:** Biomasa por unidad de esfuerzo. Peso total de los peces ponderado por el esfuerzo de la red en la que han sido capturados, expresado en gramos.

**% BPUE:** Biomasa por unidad de esfuerzo expresada en porcentaje

**L. furcal:** Longitud furcal media en mm

**Peso medio:** expresado en g

La especie que domina la comunidad es el alburno con un 88% de las CPUE, esta situación es relativamente habitual en los ambientes en los que habita esta especie introducida que es especialmente prolífica. El alburno forma grandes bancos que ocupan, principalmente la zona pelágica del embalse.



En lo que respecta a la biomasa, las especies de gran tamaño cobran importancia, especialmente el barbo (47% de la BPUE) seguido de la tenca (19%) y del lucio (17%).

En los gráficos siguientes, se ha representado la composición de la comunidad expresada en tanto por ciento de capturas por unidad de esfuerzo y de biomasa por unidad de esfuerzo.

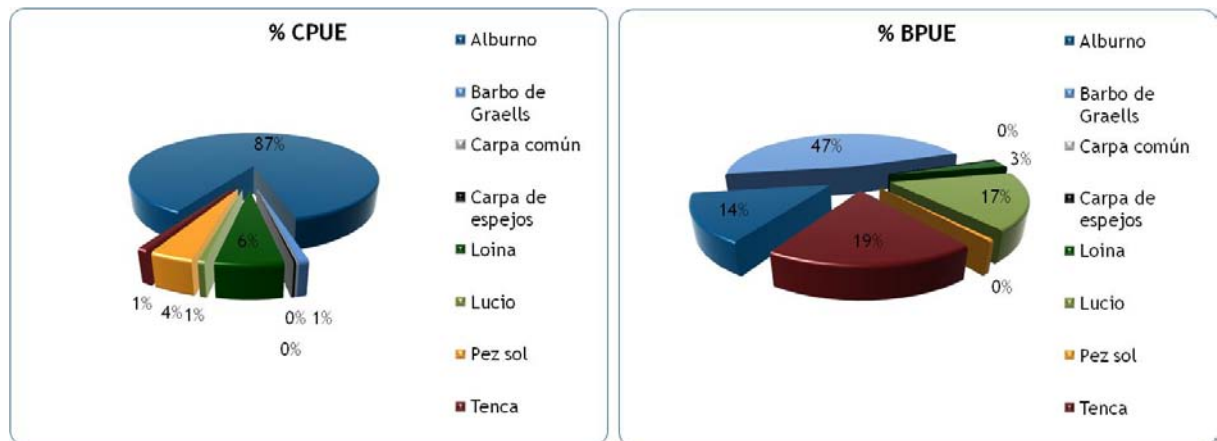


Figura 11. Porcentaje de capturas (izq) y biomasa (dcha) por unidad de esfuerzo

En la figura 12 se muestra el histograma de frecuencias de las capturas por clases de talla de 5 mm. Debido a la gran diferencia de tamaño entre las especies presentes, se ha ampliado la parte del gráfico correspondiente a las tallas pequeñas.

El gráfico refleja la carencia de una estructura poblacional adecuada de las especies autóctonas, principalmente del barbo, cuyas poblaciones están envejecidas.



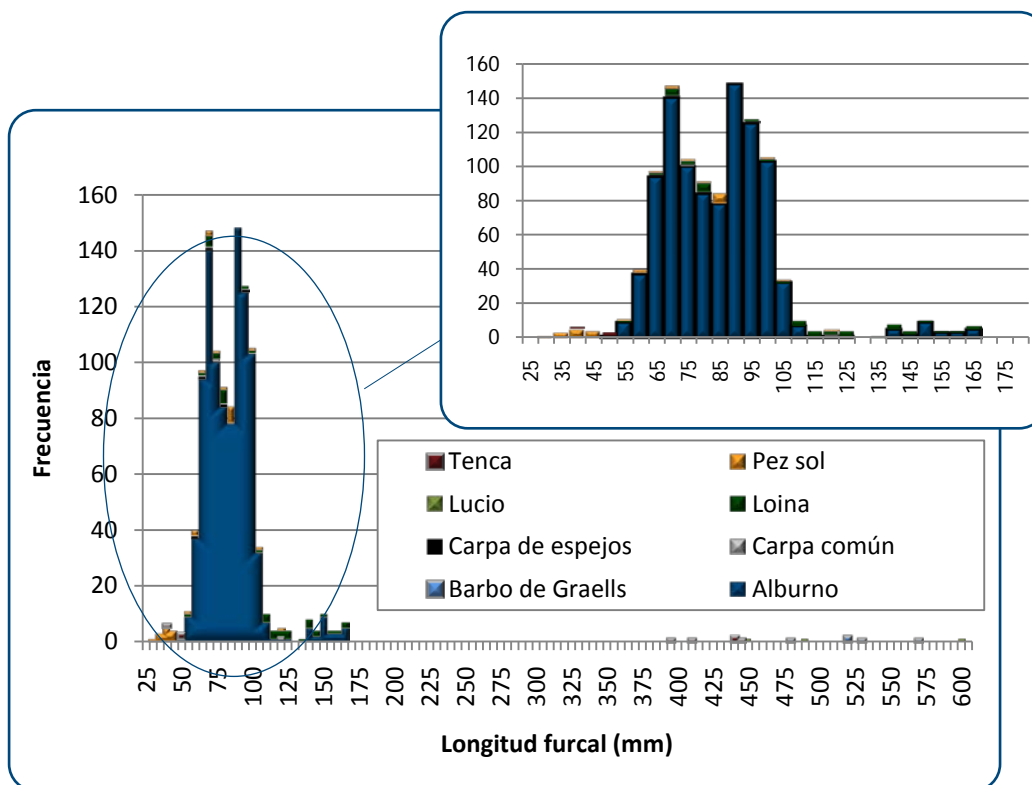


Figura 12. Histograma de frecuencias de capturas en clases de longitud de 5 mm

Las tallas pequeñas, que corresponden casi en su totalidad al alburno, muestran una población de esta especie bien estructurada y estable.

### 5.2.2.2 Resultados de la pesca eléctrica

El muestreo de pesca eléctrica en las zonas litorales someras permitió hacer las siguientes observaciones:

Las escasas zonas litorales con vegetación de ribera o detritos leñosos están dominadas por lucios adultos y pez sol.

Las zonas litorales someras cubiertas por macrófitos acuáticos están dominadas principalmente por alevines y juveniles de carpa común, tenca y pez sol, con presencia escasa de juveniles de lucio.

De las especies autóctonas no se obtuvo apenas capturas, únicamente se observó la presencia esporádica de juveniles de madrilla.

Las capturas de alburno fueron, igualmente, muy escasas.





### 5.3 Biomasa

Una vez presentados los datos obtenidos mediante las dos técnicas de prospección (hidroacústica y muestreo directo), se integran para dar una visión global del sistema.

En la tabla 7 se presentan los resultados del análisis de biomasa por celdas. Se puede observar que la distribución más o menos homogénea de densidad media entre estratos no se refleja en la pauta espacial de la biomasa, que muestra valores muy superiores (aunque bajos) en el estrato más superficial.

Tabla 7. Biomasa de peces por estratos ( $\text{g/m}^2$ ) estimada mediante acústica

Capa	Valor promedio	Número de casos	Número de casos con valor 0	Valor máximo	Desviación típica
0 a -6	0,91	648	30	44,33	2,80
-6 a -12	0,03	243	179	1,20	0,11
-12 a -18	0,05	61	23	0,55	0,10

La biomasa media del embalse puede calcularse ponderando las biomasa de cada estrato por el volumen de cada uno (Tabla 2), con lo que se obtiene una biomasa media de  $0,59 \text{ g/m}^2$ .

Esta biomasa puede considerarse baja, propia de sistemas oligotróficos, como se clasificó el embalse en el año 2.009 (CHEbro comunicación personal). No obstante, el año anterior, el embalse se había catalogado como mesotrófico (CHEbro 2.008).

La distribución espacial de la biomasa piscícola se presenta interpolada en los mapas 4 a 6 (ANEJO IV) para los tres estratos considerados. Para los intervalos de biomasa se han empleado cuantiles redondeados (mismo número de casos en cada clase). Para cada uno de los estratos se han utilizado los mismos intervalos, de tal manera que puedan compararse los estratos entre sí.

En las siguientes figuras se han ubicado geográficamente las celdas de análisis para cada uno de los estratos y se ha representado mediante símbolos graduados la biomasa de cada celda de análisis. Los intervalos empleados son diferentes para cada estrato ya que se ha usado el método de intervalos naturales que maximiza las diferencias entre grupos.

Las zonas de mayor importancia, en lo que respecta a la biomasa, son los brazos del embalse mientras que el cuerpo central, que presenta valores bajos tanto de densidad como de biomasa. Las capturas obtenidas en dicha zona del embalse corresponden principalmente a





alburnos en el estrato superior (redes Urr2, Urr5, Urr18 y Urr19) y a carpas y pez sol en el estrato medio (Urr3).

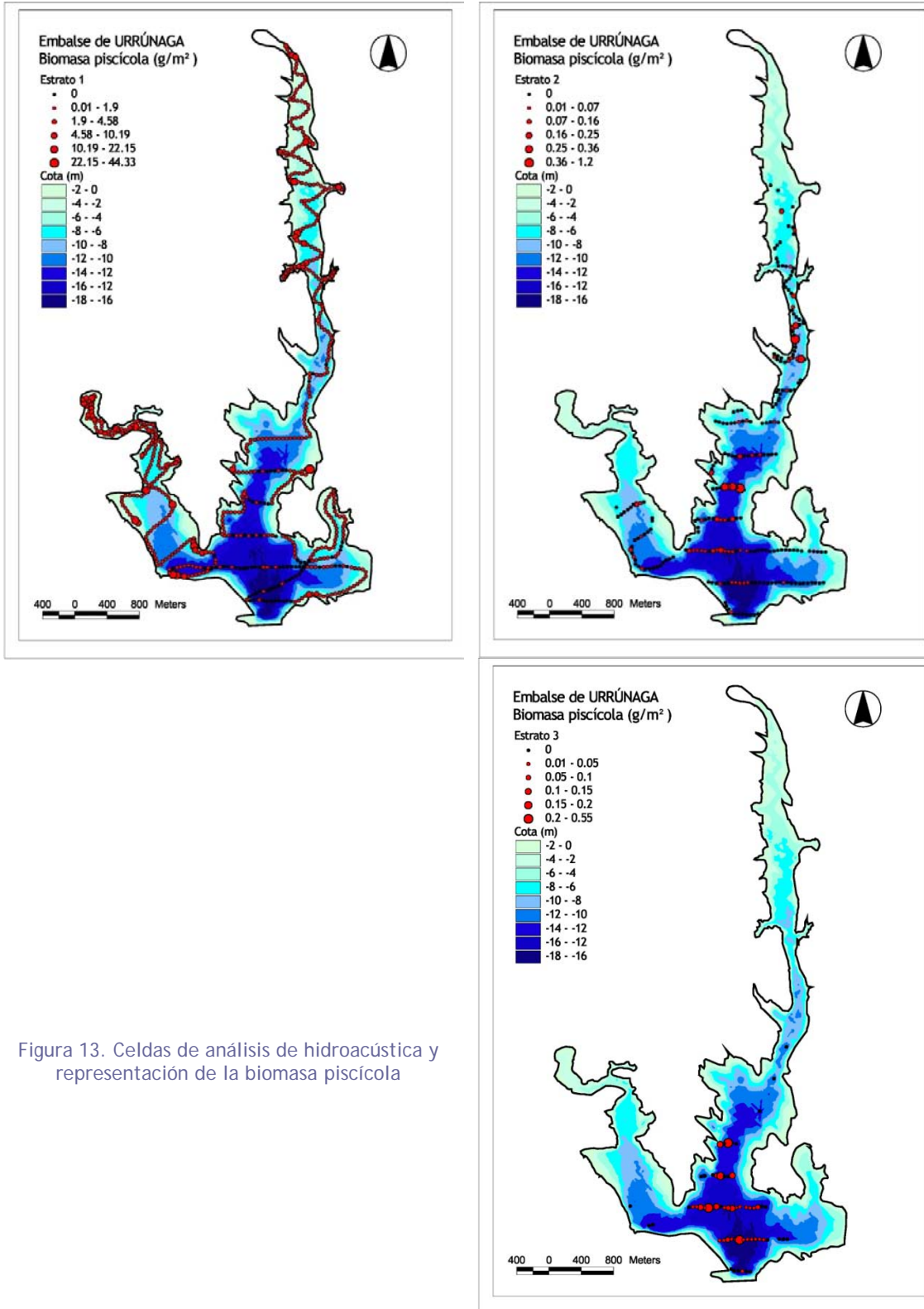


Figura 13. Celdas de análisis de hidroacústica y representación de la biomasa piscícola





### 5.3.1 Comparativa con otros embalse de la cuenca del Ebro

En el diagrama de barras siguiente se presentan los resultados de biomasa obtenidos en Urrúnaga en comparación con otros embalses de la Cuenca del Ebro donde se ha trabajado con técnicas hidroacústicas y se dispone de datos cuantitativos. La línea roja representa el valor promedio de los siete embalses considerados.

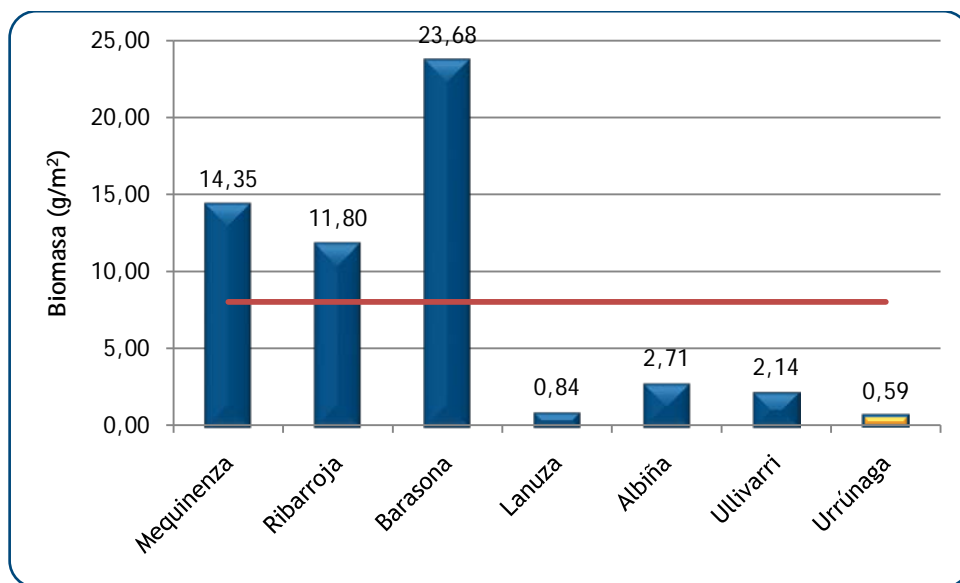


Figura 14. Comparación de la biomasa con otros embalse de la cuenca del Ebro

## 5.4 Densidad y biomasa por especies

Para poder ofrecer una estima de las densidades y biomasa por especies, es necesario aplicar la distribución de especies obtenidas mediante muestreo directo a las densidades y biomasa obtenidas mediante acústica.

En la tabla que se muestra a continuación se han calculado la densidad y biomasa relativas por especie, referidas a volumen (1000 m<sup>3</sup>) y superficie (m<sup>2</sup>) respectivamente, así como las abundancias y biomasa totales, para el embalse, calculadas a partir de volumen (47 hm<sup>3</sup>) y la superficie (580 ha) en el momento del muestreo.





Tabla 8. Densidades y biomasa por especie en el embalse

	Alburno	Barbo de Graells	Carpa común	Carpa de espejos	Loina	Lucio	Pez sol	Tenca	Total
Densidad (ind/1000m <sup>3</sup> )	3,44	0,04	0,00	0,01	0,23	0,02	0,15	0,03	3,93
N individuos	161.545	1.677	141	377	10.969	1.061	7.195	1.601	184.565
Biomasa (g/m <sup>2</sup> )	0,08	0,28	0,00	0,00	0,02	0,10	0,00	0,11	0,59
Biomasa total (kg)	486	1.598	1	2	87	593	18	634	3.419

Estos resultados se han obtenido aplicando las proporciones de CPUE y BPUE de las especies capturadas a las densidades y biomasa total obtenidas mediante acústica, por lo que deben considerarse como valores estimativos.



## 6 APROXIMACIÓN AL POTENCIAL ECOLÓGICO DEL EMBALSE BASADO EN PECES

Aunque este método de muestreo se ha aplicado en una pequeña selección de embalses de la Cuenca del Ebro, los resultados ofrecen una buena idea del tipo información que se obtiene, y de las mayores posibilidades de evaluación del potencial ecológico que aporta.

Destaca en este sentido el carácter sistemático de los muestreos, que arroja información relacionada con la disponibilidad de los diferentes tipos de hábitat dentro de la masa de agua, como fácilmente se puede apreciar en los fuertes gradientes de distribución de la densidad y biomasa de peces que plasman en los respectivos mapas; esto permitirá normalizar los resultados según sus características hidromorfológicas, que en el caso de los embalses quedan claramente supeditadas al manejo hidráulico y a su interacción con otros factores de presión.

Es decir, solamente utilizando indicadores que explícitamente se vinculen a la disponibilidad de hábitats (aguas litorales y abiertas, estratos de profundidad, sustratos y vegetación acuática, gradientes tróficos longitudinales, ...) será posible dar una salida práctica a la información relativa a los peces en los embalses, puesto que se podrá evaluar separadamente la incidencia que una determinada estrategia de explotación hidráulica pueda tener sobre la fauna piscícola, descontando así este efecto de otras presiones, lo cual resulta fundamental en el proceso de planificación hidrológica.

Dado que la estimación cuantitativa de la fauna de peces en embalses y lagos no se ha aplicado de forma extensiva, resultaría precipitado intentar resumir en métricas y en un EQR estos resultados.

Cabe destacar en todo caso, que actualmente está en proceso el desarrollo de tales métricos a nivel nacional, en el marco de las iniciativas de intercalibración de lagos y embalses y de un proyecto de I+D+i del MARM (*Investigación de la respuesta hidroacústica específica y desarrollo de métodos para la evaluación cuantitativa de las comunidades de peces y del potencial ecológico en embalses. Expdte.: 082/RN08/01.1*) coordinado por el equipo de Ecohydros. Indudablemente, en la medida en que en el futuro se tengan datos de una población suficiente de embalses y de lagos, será posible ofrecer un diagnóstico concreto para estos casos y otros que se vayan muestreando con este tipo de técnicas.





Pese a no ser posible, por el momento, ofrecer una valoración del potencial ecológico basándose en las comunidades de peces, se pueden apuntar los principales problemas que se presentan en el embalse de Urrúnaga en relación a su ictiofauna:

- Ausencia de la trucha común.
- Dominio en densidad de las especies alóctonas, especialmente del alburno.
- Presencia del lucio, que es una amenaza importante para las poblaciones de ciprinidos autóctonos, aunque en contrapartida puede controlar las poblaciones de otras especies exóticas introducidas.
- Poblaciones de barbo envejecidas y de loina escasas. En lo que respecta a la densidad y biomasa, el embalse parece encontrarse en rangos bajos, especialmente en lo que concierne a la segunda.



## 7 CONCLUSIONES

Aparte de las consideraciones que se desprenden del resumen de resultados que se facilita a continuación, es notable la información diferencial que ofrecen los métodos empleados (hidroacústica y redes agalleras multipaño) sobre otros aspectos diferentes a la mera composición poblacional, que por otro lado no siempre queda debidamente recogida con métodos cualitativos basados en el uso de trasmallos. Surgen así nuevos matices y posibilidades de evaluación, que permitirán en su momento alcanzar un diagnóstico más fiel a la situación real de la fauna piscícola y que también evidencian rasgos directamente vinculados a la interpretación de las presiones y a las posibles medidas correctoras.

Se resumen seguidamente los aspectos más destacados de los resultados obtenidos:

- Se han encontrado las siguientes **especies**: Alburno (*Alburnus alburnus*), Barbo de graells (*Barbus graellsii*), Carpa común (*Cyprinus carpio*) y de espejos (*Cyprinus carpio specularis*), loina o madrilla (*Pseudochondrostoma miegi*), lucio (*Exos lucius*), pez sol (*Lepomis gibbosus*) y tenca (*Tinca tinca*). El barbo y la loina son las únicas especies autóctonas y sobre de la tenca, no se conoce con exactitud su carácter autóctono o alóctono. Destaca la ausencia de la trucha común (*Salmo trutta*)
- La **comunidad de peces** está dominada en densidad por el alburno con un 88% de las CPUE, mientras que en biomasa cobran importancia las especies de mayor tamaño: el barbo (47% de la BPUE) seguido por la tenca (19%) y el lucio (17%).
- Las zonas litorales someras están dominadas por alevines y juveniles de carpa, tenca y pez sol, lo que indica el buen reclutamiento de estas especies, sin embargo, el de las especies autóctonas parece muy escaso.
- La **densidad media de peces**, a partir de la interpolación en celdas de 50 m, es de **3,93 individuos/1000m<sup>3</sup>**. Ese valor de densidad se puede considerar bajo. En términos de abundancia absoluta, el número de peces estimado es de 184.565 individuos.
- Los valores máximos de densidad media corresponden a la capa superficial (0-6 m) y a la inferior (profundidad mayor de 12 m). En la superficial, además, se encuentran los puntos de mayor concentración de peces, homogéneamente distribuidos por los dos brazos principales del embalse.





- La **biomasa** de peces obtenida en el embalse es de  $0,59 \text{ g/m}^2$ , o lo que es lo mismo, **5,9 kg/ha**, se trata de un valor bajo, propio de sistemas oligotróficos. La biomasa absoluta se estimó en **3,4 t**.
- La aportación a la biomasa del embalse de las capas inferiores es ínfima y son los dos brazos correspondientes a los ríos Santa Engracia y Urquiola los que concentran las mayores biomásas.
- Las dos especies de ciprínidos autóctonos (barbo y loina) presentan unas poblaciones menguadas en este embalse y muestran síntomas de fracaso en el reclutamiento, que no se explica a partir del esquema de explotación hidráulica.





## 8 GLOSARIO

**BPUE:** Biomasa por Unidad de Esfuerzo. El peso de las capturas obtenidas durante las pescas científicas se normaliza a un esfuerzo de referencia, que corresponde a una red bentónica (45 m<sup>2</sup>) expuesta durante 12 horas.

**CPUE:** Captura por Unidad de Esfuerzo. El número de capturas obtenidas durante las pescas científicas se normaliza a un esfuerzo de referencia, que corresponde a una red bentónica (45 m<sup>2</sup>) expuesta durante 12 horas.

**Ecograma:** Es una forma de representación del sonido que retorna a la ecosonda, en la que cada ping se dispone en el eje horizontal y la distancia en el vertical.

**Ping:** un ping es un impulso acústico generado por la ecosonda; a efectos prácticos se puede considerar como una muestra de la columna de agua.

**Talla acústica (Target strength, TS):** Es la intensidad del sonido procedente de un blanco (pez en este caso) y se mide en decibelios (dB). Es una medida logarítmica de la proporción de la energía incidente que es devuelta por el blanco. Se utiliza una escala logarítmica porque el tamaño de los organismos acuáticos cubre varios órdenes de magnitud, desde el plancton hasta las ballenas. Para casi todos los peces, la TS está en el rango de -70 a -20 dB. Por ejemplo, si decimos que un blanco tiene 3dB más que otro, es lo mismo que decir que refleja dos veces más energía. Un blanco de -20dB, un atún o un siluro de gran talla quizás, produce un eco 10000 veces más fuerte que un blanco de -60dB, que podría corresponder por ejemplo a un alevín de boga de unos 4 cm de talla.

**Transductor:** Elemento primordial del sistema acústico, que convierte el impulso eléctrico en mecánico (sonido) y viceversa. Son piezas que van sumergidas y de cuyo diseño depende la arquitectura del haz acústico. Mediante la actuación de numerosos elementos piezo-eléctricos se consigue generar un haz tipo pistón, con un lóbulo central prominente y lóbulos laterales pequeños, de lo que depende el ratio señal/ruido de una ecosonda. Este es uno de los aspectos en los que se diferencian las ecosondas científicas de las que ecosondas estándar pesqueras, y conlleva una considerable diferencia en sofisticación, que no se percibe en su justa medida en una apreciación puramente visual de un ecograma.









## 9 BIBLIOGRAFÍA

CEN 14757:2.005. Water quality - Sampling of fish with multi-mesh gillnets.

CEDEX, 2005. Directiva 200/60/CE. Análisis de las características de las Demarcaciones. Caracterización de los tipos de ríos, lagos y embalses (versión 5.0). Ministerio de Medio Ambiente, Madrid. 313 Págs.

CHEbro (2.008). Informe final de seguimiento biológico de embalses.

CHEbro (2.009a). Guía de campo de Peces de la Cuenca del Ebro.

CHEbro (2.009b). Control del estado de las Masas de Agua C.E.A.S. Informe de situación año 2008.

Doadrio, I. (2.001). Atlas y libro rojo de los peces continentales de España. Madrid, MMA. Dirección General de Conservación de la Naturaleza.

Embalses.net. Estado de los embalses y pantanos de España (2009). <http://www.embalses.net/>. Julio, 2009.

Fishbase (2009). <http://www.fishbase.org/search.php>. Marzo, 2009.

Love, R.H., 1977. Target strength of an individual fish at any aspect. The Journal of the Acoustical Society of America 62, 1397-1403.

SAIH Ebro. <http://195.55.247.237/saihebro/index.php?url=/historicos/peticion>. Noviembre 2009.







# ANEJOS







# ANEJO I. FICHAS DE ESPECIES PRESENTES





## ANEJO II. RESULTADO DE LAS PESCAS CON REDES





## ANEJO III. RESULTADOS DE HIDROACÚSTICA POR CELDAS





## ANEJO IV. MAPAS

